

ΥΛΙΚΑ ΙΙΚΟΛΛΟΕΙΔΗ

② Τι είναι τα κολλοειδή;

ΤΑ ΚΟΛΛΟΕΙΔΗ ΣΥΣΤΗΜΑΤΑ ΑΠΟΤΕΛΟΥΝΤΑΙ ΆΤΟ ΜΙΑ ΔΙΑΣΤΙΑΡΗΜΕΝΗ ΦΑΣΗ ΣΕ ΕΚΑΣΤΑΣΗ ΛΕΠΤΟΥ ΔΙΑΜΕΡΙΣΜΟΥ, ΜΕΣΑ ΣΕ ΕΝΑ ΜΕΣΟ ΔΙΑΣΤΗΡΑΣ.

Τόσο η ίδια διασπορά όσο και η διαστηρίζουσα φάση πρέπει να είναι στρεψη, υγρή ή αέρια.

Τια παραπομπές:

- Η φλιζάνη και ο κανός είναι διασπορές υγρών ή στρεψών ανθρακίων στον αέρα (aerosols).
- Το γάιδα είναι αερική διασπορά ανθρακίων λινού σε οδακή φάση (γαϊδαριά).
- Τα χρήζαρα και επιστριφήραρα είναι αερικές διασπορές στρεψών ανθρακίων σε υγρά (νερό ή οργανικού διαδύτη) (κολλοειδή ανθρακίραρα).
- Τα απορριδαστικά είναι διασπορές αερίου σε στρεψό-άλογρα πλαστικά.
- Το αίρα είναι διασπορά κυρταρίκων ανθρακίων στον αέρα των αιγάλων.

Table 3.1 Types of colloidal dispersions with examples

Disperse phase	Dispersion medium	Name	Examples
Liquid	Gas	Liquid aerosol	Fog, liquid sprays
Solid	Gas	Solid aerosol	Smoke
Gas	Liquid	Foam	Foams and froths
Liquid	Liquid	Emulsion	Milk, mayonnaise
Solid	Liquid	Sol, colloidal dispersion or suspension, paste (high solid content)	Silver iodide in photographic film, paints, toothpaste
Gas	Solid	Solid foam	Polyurethane foam, expanded polystyrene
Liquid	Solid	Solid emulsion	Tarmac, ice cream
Solid	Solid	Solid suspension	Opal, pearl, pigmented plastic

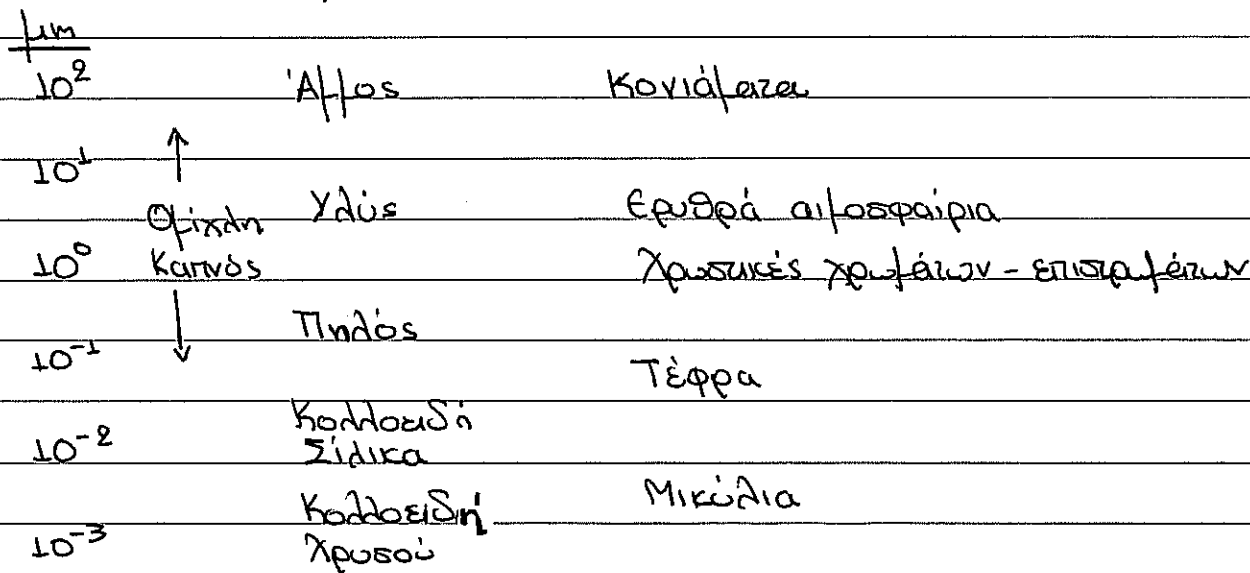
ΚΟΝΙΟΕΙΔΗ

ΔΙΑΣΤΑΣΕΙΣ ΔΙΑΣΠΑΡΜΕΝΗΣ ΦΑΣΗΣ

Το μέγεθος της κονιοειδούς συμβολίων είναι συνήθως 1-1000nm.

Το σχήμα τους πλούτινο και είναι σφερικό, ραβδόφορο (στιγμές) ή φυλλόφορο

Τυπικά μέγεθη συμβολίων.



Τα κονιοειδή αντιρείται είναι τυποποιημένη αρχή για κονιοειδή συμβολία που είναι διασπαρτέα | Έτσι σε μια συριχτή φάση (π.χ. διαδίκτυο, ή αέρα) πλούτινον και θεωροῦνται τυποποιημένες (| ε μέγεθος από 1nm μέχρι 1μm) επεροδέγκειες (σε υγρό, σιρρή ή αέρια φάση) που αποτελούνται από πολλά λόρια.

Εξαγορά για μέγεθος τους ο λόγος της επιφάνειας προς την άρχη είναι πολὺ λεπτός και συνεπώς πολλά λόρια βρίσκονται στην επιφάνεια ανάλογα στην παραγόμενη φάση (π.χ. σιρρή-υγρή σε παραγόμενη σιρρή κονιοειδούς συμβολίων σε διαδίκτυο).

'Εξει για ΕΠΙΦΑΝΕΙΑΚΑ ΦΑΙΝΟΜΕΝΑ ΚΑΙ ΟΙ ΑΛΛΗΛΕΠΙΔΡΑΣΕΙΣ παίζουν σημαντικό ρόλο στην συγχρήση των κονιοειδών συγγάνειων.

π.χ. 1kg πολυτέρους υπό λόρια σφαιρών | ε ακίντη 200nm διαμέτρου σε νερό (~ 5lt πολυτέρικος χρήστης) $\Rightarrow 15000m^2$ διεπιφάνειας.

ΚΟΛΠΟΕΙΔΗ

- Η ΕΠΙΦΑΝΕΙΑΚΗ ΧΗΜΙΑ ΚΑΙ ΟΙ ΔΥΝΑΜΕΙΣ ΑΛΛΗΛΕΠΙΔΡΑΣΕΙΣ ΚΑΘΟΡΙΖΟΥΝ ΤΗΝ ΣΤΑΘΕΡΟΤΟΙΝΗΣΗ ΤΩΝ ΚΟΛΠΟΕΙΔΩΝ ΔΙΑΣΤΗΡΩΝ.
Για παράδειγμα, στις διασπορές στερεήν αυγαίδια σε διάφορα τα αυγαίδια σταθεροποιούνται με καραμέλην επεξεργασία της επιφάνειας τους : είτε με χημικό προσβρόπον πολυεπίτειν αδυσίσιμη ή με προσθήκη ηλεκτρικών φορίων στην επιφάνεια.
Το ζητούμενο αποτέλεσμα είναι η υπερίερχη των απωδικών δυνάμεων ώστε να απορρευθεί η συσσωμάτωση των κολποειδών.
- ΟΙ ΑΠΩΔΙΚΕΣ ΔΥΝΑΜΕΙΣ ΕΙΝΑΙ ΑΠΑΡΑΙΓΜΕΣ ΓΙΑ ΤΗΝ ΣΤΑΘΕΡΟΠΟΙΗΣΗ ΤΩΝ ΚΟΛΠΟΕΙΔΩΝ ΔΙΑΣΠΟΡΩΝ.
Αποτίκα απωδικών αλληλεπιδράσεων οι δυνάμεις van der Waals (ελακτικές) οδηγούν σε συσσωμάτωση των κολποειδών αυγαίδιων και ζελακία σε διαχωριστέ του αυγαίδας σε δύο φάσεις.
Η συσσωμάτωση των κολποειδών οδηγεί σε φένεμα των διεπιφανειακή τελεζών των δύο φάσεων και συντονίωση σε λειτουργία των επιφανειακών ενέργειας.
- ΜΕ ΒΆΣΗ ΤΗΝ ΑΛΛΗΛΕΠΙΔΡΑΣΗ ΑΝΤΕΡΑ ΣΤΑ ΚΟΛΠΟΕΙΔΗ ΣΥΣΣΩΜΑΤΙΔΙΑ ΣΕ ΓΙΑ ΔΙΑΣΠΟΡΑ ΣΑ ΚΟΛΠΟΕΙΔΗ ΣΥΣΣΩΜΑΤΑ ΣΥΧΝΑ ΧΑΡΑΚΤΗΡΙΖΟΥΝΤΑΙ ΉΣ :
 (i) Λυθόφρεζα (η γερμανική ονομασία είναι νερό)
 δηλα οι ελακτικές δυνάμεις έχουν αυγαίδια υπεριερχόμενα και οδηγούν σε διπλαργία συσσωμάτωσης.
 (ii) Λυθφίλα (η γερμανική ονομασία είναι νερό).
 δηλα οι απωδικές δυνάμεις υπεριερχόμενα και σα κολποειδή αυγαίδια έναντι επιπλέον διασπορέα στο ίδιο διασποράς (δικίλιο).

ΚΟΝΝΟΕΙΔΗ

- ② Διασπορές στρεινών συμβασίων, ή λέγεται λεγόντωρο από ~1μm, σε ωρό μέσο διασποράς (διάλυμα) αρθρίζονται.

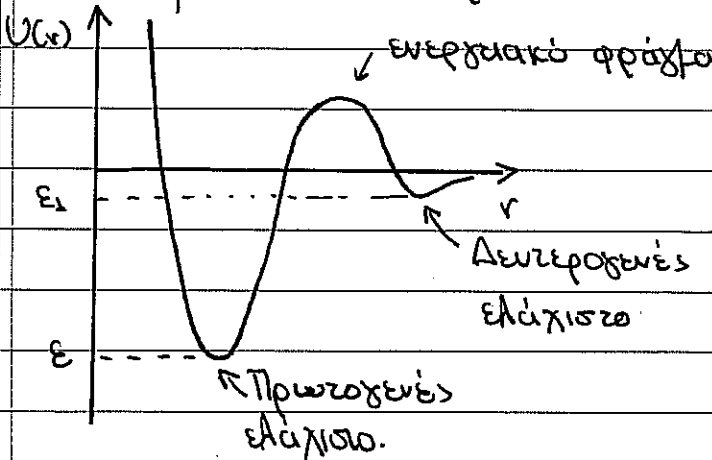
ΑΙΩΡΗΜΑΤΑ:

Συμβασία ή σχετική λεγόντωρο ή/και λεγόντωρο πυκνώντα από αυτήν την διάλυμα καθίζονται υπό την επίδραση της βραζίντας.

- ③ Αναστάτωσης δυνάμεων της κολλούμενης συμβασίας δικτιούρων συσσωματισμού. Η διαδικασία της συσσωματίσματος (aggregation) προτί τα είναι ανισορηπή, από τις ανθράκες θρόψωση (flocculation) ή βινταντίσματος οπότε ανθράκες κροκίδωση (coagulation)

- Στην ανισορηπή συσσωματίσματος δικτιούρων τα χαλαρά συσσωματισμένα τα αποτελούντα σημεία είναι εύκολα να καταστρέψουν (π.χ. ή αναδέσουν). Αυτό συμβαίνει δηλαδή την ενέργειαν της ανθράκης αλληλιόδρασης |είτε θύει συμβασίων δεν είναι πολύ βαρύ (μέχρι λεπτά KT).
- Στην βινταντίσματος συσσωματίσματος δικτιούρων τα σταθερά συσσωματισμένα εξαρτίσται της ρητής ενός σχετική λεγόντων (αρκετά KT) ελαχιστού αλληλιόδρασης.

Παραδείγμα: Για συμβασία που σταθεροποιείται μεταρρυθμιστικά το δυνατό αλληλιόδρασης (DLVO) έχει την γενική λόγο:



- Το πρωτογενές ελύχιστο είναι συνήθως $E > KT$ και συντίθεται στην ανισορηπή συσσωματίσματος ενώ το δευτερογενές είναι $E \sim KT$ και συντίθεται στην βινταντίσματος συσσωματίσματος.

ΚΟΛΛΟΕΙΔΗΔΥΝΑΜΕΙΣ ΑΛΗΛΕΤΙΔΡΑΣΗΣ⊗ ΕΛΚΤΙΚΕΣ ΔΥΝΑΜΕΙΣ VAN DER WAALS

Οι δυνάμεις αυτές είναι η κύρια αίσια τις συστήσεων στα κοντινά συστήματα.

Οι δυνάμεις van der Waals αρχίζουν σε απόστασης περίπου διπλών (Διπλού - Διπλού), περίπου πετρελαϊκών διπλών ($\text{Διπλού - Επαγγελματικού διπλού}$) και περίπου επαγγελματικών διπλών ($\text{Επαγγελματικού διπλού - Επαγγελματικού διπλού}$). Οι τελευταίες αναφέρονται και ως δυνάμεις London ή δυνάμεις σιασηπάς (dispersion or London forces).

Το δυνατικό αδιάδιπλον και στις γραμμές περιπλώσεις είναι

$$U(r) \sim \frac{1}{r^6}$$

Με εξαιρεσινά έντονα πολικά λόρια η κυριότερη συνεισφορά στις δυνάμεις van der Waals είναι αυτή που προέρχεται από τις δυνάμεις περίπου επαγγελματικών διπλών (δυνάμεις London).

Το εδκτικό λέπος των δυνατικών αδιάδιπλωσης είναι:

$$U(r) = -\frac{3}{4} \left(\frac{1}{4\pi\epsilon_0} \right)^2 \frac{a^2}{r^6} \quad \text{θώ}$$

όπου

$$\begin{aligned} \epsilon_0 & \text{ η μετεγρήκη διαπεριφορά των λεβων} \\ & = 8.85 \cdot 10^{-12} \text{ C}^2 \text{ N}^{-1} \text{ m}^{-2} \end{aligned}$$

a η πλωσιλόρια των αδέτηρων λορίων

θ η ενέργεια λοχισμού των λορίων.

και r η απόσταση ανάμεσα στα δύο αδέτηρα λορία.

KOMMENIAΔΥΝΑΜΕΙΣ VAN DER WAALS

Όταν τα λόρια έχουν πολλή κονσέρνα τα μετεπροώντα ρεύματα ανωθούν, από την εφαρμογή της απωτικής δύναμης. Αυτές οι δυνάμεις φεύγουν με την απόσταση πολὺ χρησαρότερα από ότι οι επικαίες δυνάμεις van der Waals.

Για τα απωτικά λόρια των δυνατικών έχουμε

$$U(r) \sim \frac{1}{r^{12}}$$

Το συνολικό δυνατικό ανταντιδραστής έχει την τοπή των

ΔΥΝΑΜΙΚΟΥ LENNARD-JONES:

$$U(r) = -\frac{A}{r^6} + \frac{B}{r^{12}}$$

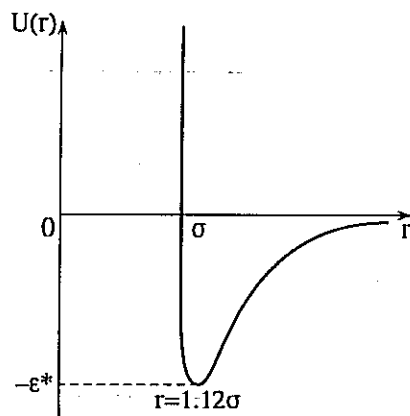
όπου A και B σταθερείς.

Συνθέτεται χρησιμείως:

$$U(r) = 4\epsilon^* \left[\left(\frac{\sigma}{r} \right)^{12} - \left(\frac{\sigma}{r} \right)^6 \right]$$

σ : η απόσταση όπου $U(r) = 0$

και $-\epsilon^*$: το ελάχιστο της δυνατικής ενέργειας ανταντιδραστής



Eικόνα A.2: Δυναμικό Lennard-Jones.

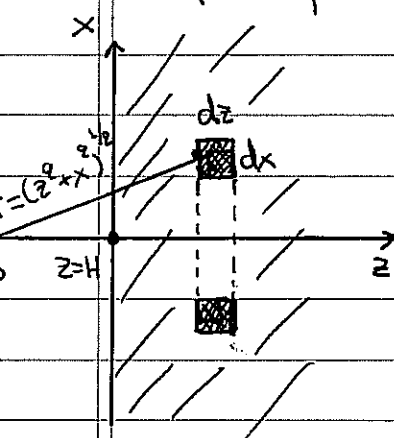
To ελάχιστο της
δυνατικής ενέργειας
βρίσκεται σε απόσταση
 $r = 2^{1/6} \sigma = 1.12\sigma$

KOMOΣIAHDYNAMEIS VAN DER WAALS

ΕΡΩΤΗΣΗ: ΤΙΟΙΟ ΕΙΝΑΙ ΤΟ ΔΥΝΑΜΙΚΟ ΑΛΛΗΛΕΠΙΔΡΑΣΗΣ (Η Η ΔΥΝΑΜΗ ΑΛΛΗΛΕΠΙΔΡΑΣΗΣ) ΑΝΑΜΕΣΑ ΣΕ ΔΥΟ ΚΟΜΟΣΙΑ ΣΩΜΑΤΙΔΙΑ;

To επικυρώσυνακό ανάτομο σε δύο λόρια είναι: $U(r) = -\frac{C}{r^6}$
και η σύραfn $F(r) = -\frac{6C}{r^7} = -\frac{\partial U}{\partial r}$

• Για την αλληλεπίδραση ενώς λόριου σε απόσταση H από ένα σύρρακο μηχανήστρου:



— Υπολογίζοντες το δυναμικό αλληλεπίδρασης των λόριων το οποίο θέλουμε να σχετίσουμε με την απόσταση H και την πυκνότητα ρ των λόριων.

Ο όγκος του διατύπου είναι:

$$\pi x dx dz$$

ρ: η αριθμητική πυκνότητα των σύρρων.

To συνοδικό δυναμικό αλληλεπίδρασης είναι:

$$U(H) = -2\pi C \rho \int_{z=H}^{\infty} dz \int_{x=0}^{\infty} \frac{x dx}{(z^2 + x^2)^{6/2}} =$$

$$= -2\pi C \rho / 12 H^3$$

→ ANTI ΓΙΑ ΕΞΑΡΤΗΣΗ $U(r) \sim -\frac{1}{r^6}$ ΤΟΥΣ ΕΙΧΑΜΕ ΜΕΤΑΞΥ ΔΥΟ ΜΟΡΙΩΝ ΤΩΡΑ ΤΙΡΟΚΥΤΙΤΕΙ

$$U(H) \sim -\frac{1}{H^3}$$

"Η ΑΛΛΗΛΕΠΙΔΡΑΣΗ ΕΙΝΑΙ ΜΕΓΑΛΥΤΕΡΗΣ ΕΜΒΕΝΙΑΣ"

KOMOEDHDYNAMEIS VAN DER WAALS

- ① Av arī για την πόρια έχουμε για δύο σφρίγες ημιεπιπέδων η δυνατήσιν ενέργεια ανάτεσα στα δύο ημιεπιπέδα αυτή λογιστικά επιφάνειας είναι:

$$U(H) = -\frac{2\pi\rho^2C}{12} \int_H^{\infty} \frac{dz}{z^3} = -\frac{A}{12\pi H^2}$$

όπου $A(\equiv \pi^2 \rho^2 C)$ είναι η σταθερά του Hamaker

Η σταθερά του Hamaker εξαρτάται από το υλικό. Έχει λογιστικές ενέργειες και για πολλά υλικά είναι $\sim 10^{-19} \text{ J}$.

- ② Για δύο ίδια σφρίγες αυτοιδία [ε ακίνη α και ανβορζασμένης την επιφάνειαν τους Η προκύπτει:

$$U(H) = -\frac{Aa}{12H} \left[1 + \frac{3H}{4a} + 2\frac{H}{a} \ln\left(\frac{H}{a}\right) \right] \quad \text{για } H \ll a$$

και

$$U(R) \approx -\frac{16Aa^6}{9 \cdot R^6} \quad \text{για } R \gg a$$

Γαπόσκον φερόντων σφρίγεων

⇒ APA ΕΙΑ ΔΥΟ ΗΜΙΕΠΙΠΕΔΑ ΣΕ ΑΠΟΣΤΑΣΗ Η:

$$U(H) \sim -\frac{1}{H^2}$$

ΚΑΙ ΓΙΑ ΔΥΟ ΣΦΡΙΓΕΣ ΣΕ ΑΠΟΣΤΑΣΗ $H \ll a$:

$$U(H) \sim -\frac{1}{H}$$

KONNOEIDH

DYNAMICSEN VAN DER WAALS

H andò anzi proseggiò con l'oratore van der Waals den discorso un po' più tardi:

(a) Το πρώτο είναι της καθυστέρησης της μετατροπής αγνωστής αδιάλεκτης σε λέξη της συλλασίας (καθυστέρηση σφρίνης). Η ρύθμιση είναι σημαντική για αποδόσεις λεγοντζής από ~10nm.

Aυτό έχει σαν αποτέλεσμα ότι λεγόμενες αναστάσεις το δυνατόκιο
αδιαληπτίζεται πλέον σαν $\frac{1}{r^7}$ (και όχι $\frac{1}{r^6}$) και αριθ.
ότια δύο επιφάνειες $U(H) \sim \frac{1}{H^3}$ (και όχι $\frac{1}{H^2}$)

(β) Την παρούσια υγρού: Είσαι διασποράς ανάφεσα στη συμβίωση. Σε αυτή την περίπτωση η σταθερά A πρέπει να ανακαλυπτεί από πάνω στη σταθερά Hamaker. Σα διο είδετε συμβίωση (η σταθερά Hamaker A_1) ήσα σε διάλυμα (η σταθερά Hamaker A_3) ή σταθερά Hamaker που αναστοιχίζει στην αληθινή δραση. Η επόμενη συμβίωση θα είναι:

$$A = (A_1^{1/2} - A_3^{1/2})^2$$

Apa n Suv'ies van der Waals ovlêea op oppervlakta.

Στασημένη ή σε στάθμη παρόποιου ωδικού είναι τις δύο φύρες

ΚΟΛΠΟΣΙΔΗ

Η ΗΛΕΚΤΡΟΣΤΑΤΙΚΗΣ ΑΜΗΛΕΤΙΔΡΑΣΕΙΣ

Η ΗΛΕΚΤΡΙΚΗ ΔΙΠΛΟΣΤΟΙΒΑΔΑ

- Εστια φορμιστένα κολπούδη σωματίδια διασπαρτένα σε υδατικό διάλυγμα. Ήτοι είναι το δυνατότερο αλληλεπιδρώσεων αντίτυπο στις κολπούδη σφαίρες;
- Πόσο σημαντική είναι η απωθείας ηλεκτροστατικής αλληλεπιδρώσεων αντίτυπα στις φορμιστένες σφαίρες;
- Σε υδατικό διαλύγμα τη παρουσία ιόνων ή εζαβάτη σημαντικά τις αλληλεπιδρώσεις μεταξύ των φορμιστένων σφαίρων.
- Άκρια και αφέρεστα σωματίδια αποκαλούν ηλεκτρικό φορτίο (ιονιζόνται) όταν διασπαρούν σε ένα ένγονα πλαίσιο ήσο οποιος το νερό συνιθως αποκαλούν αρητικό φορτίο γιατί για κατιόντα ενυδατικόνται πιεριστερήρηρο από τα ανιόντα, και έτσι παρατίθουν διαδυνάμεια ενώ τα ανιόντα προσφέρονται στην επιφάνεια.
- Φορμιστένες επιφάνειες έχουν την τάση να προσφέρουν ιόντα ανιόντων φορτίου και να απωθούν ιόντα άλλου φορτίου.

ΕΠΕΤΖΙ, ΣΕ ΣΥΝΔΙΑΣΜΟ ΜΕΤΗΝ ΤΑΣΗ ΤΙΡΟΣ ΑΝΑΜΕΙΞΗ ΤΩΝ ΙΟΝΤΩΝ (ΛΟΓΟΤΗΣ ΘΕΡΜΙΚΗΣ ΚΙΝΗΣΗΣ, ΆΛΛΑ ΚΑΙ ΓΙΑΝΑ ΜΕΓΙΣΤΟΠΟΛΗΣΟΥΝ ΤΗΝ ΕΝΤΡΟΠΙΑ ΑΝΑΜΕΙΞΗΣ) ΔΗΜΙΟΥΡΓΕΙΤΑΙ Η ΗΛΕΚΤΡΙΚΗ ΔΙΠΛΟΣΤΟΙΒΑΔΑ:

ΑΠΟΤΕΛΕΙΤΑΙ: α) Φορμιστένη επιφάνεια στην οποία ήπει
και υπάρχουν και προσφροντένα ιόντα
και β) Μια εξωτερική περιοχή στην οποία κατανέμονται τα ιόντα ώστε την επιδρούν την ηλεκτροστατική δυνάμειν και στη θερμική κίνηση.

→ ΓΕΝΙΚΑ Η ΥΠΑΡΞΗ ΤΩΝ ΙΟΝΤΩΝ ΟΔΗΓΕΙ ΣΕ ΘΟΡΑΚΙΣΗ (SCREENING) ΤΩΝ ΗΛΕΚΤΡΟΣΤΑΤΙΚΩΝ ΑΜΗΛΕΤΙΔΡΑΣΕΩΝ (COULOMB) ΠΟΥ ΣΥΝΔΕΕΤΑΙ ΜΕ ΕΚΘΕΤΙΚΗ ΜΕΙΟΣΗ ΤΗΣ ΑΠΟΣΤΙΧΗΣ ΔΥΝΑΜΗΣ ΜΕ ΤΗΝ ΑΠΟΣΤΑΣΗ.

ΗΛΕΚΤΡΟΣΤΑΤΙΚΕΣ ΑΛΗΛΕΠΙΔΡΑΣΕΙΣ

Η ΗΛΕΚΤΡΙΚΗ ΔΙΠΛΟΣΤΟΙΒΑΔΑ

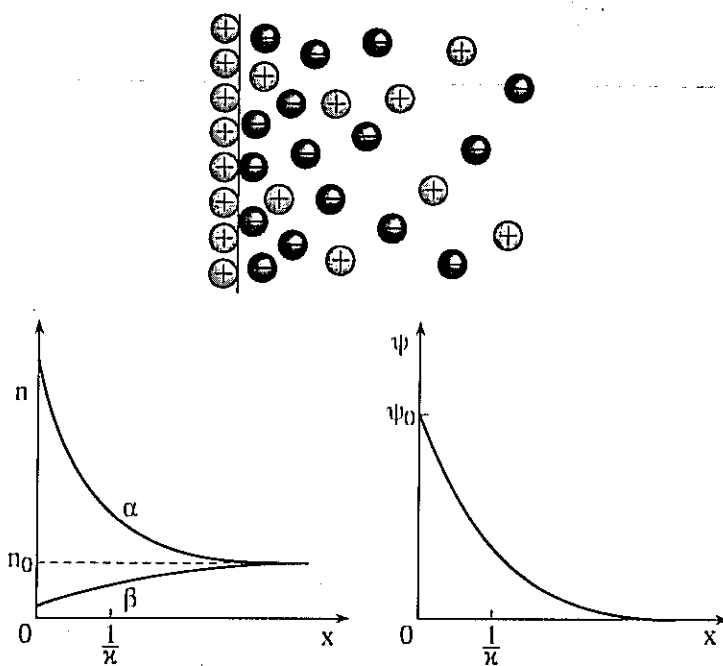
Το αναλογικό λογίδω στη γη την ηλεκτρική διπλοστοιβάδα είναι αυτό της διάχυτης διπλοστοιβάδας των Gouy και Chapman.

- Η επιφάνεια διπλορίζεται επιπλέον, από την διαστάσην της αερούφερφα φρεγκέριν
- Τα ίόντα είναι σημειακά και ακολουθούν την κανονική Boltzmann.
- Ο διαδικαστικός επηρειαζόντης την διπλοστοιβάδα λέγεται ψευδο-Boltzmann και του σταδιούρας που είναι σταθερή σε όλη την έκταση της διπλοστοιβάδας.

Το ηλεκτρικό δυναμικό $\psi(x)$ καθορίζει την πυκνότητα των θερμικών ($n_+(x)$) και αρνητικών ιόντων ($n_-(x)$) σε απόσταση x από την επιφάνεια σύμφωνα με την κανονική Boltzmann.

$$n_+ = n_0 \exp\left(-\frac{ze\psi}{k_B T}\right) \quad \text{και} \quad n_- = n_0 \exp\left(+\frac{ze\psi}{k_B T}\right)$$

+ zeψ : η δυναμική ηλεκτρική ενέργεια $U(x)$ των ιόντων



Εικόνα 8.1: Σχηματική παράσταση της διάχυτης ηλεκτρικής διπλοστοιβάδας.

α) Ιόντα αντίθετου φορτίου.

β) Ιόντα του ίδιου φορτίου. x: η απόσταση από την επιφάνεια.

ΚΟΠΠΟΕΙΔΗ

ΗΛΕΚΤΡΙΚΗ ΑΠΛΟΣΤΟΙΒΑΔΑ

Η πυκνότητα καθαρού φορέων είναι:

$$\rho = ze(n_+ - n_-) = z\epsilon n_0 \left[\exp\left(\frac{-ze\psi}{k_B T}\right) - \exp\left(\frac{+ze\psi}{k_B T}\right) \right]$$

$$= z\epsilon n_0 2 \sinh\left[\frac{ze\psi}{k_B T}\right]$$

αλλα είναι συνδέεται με το δυναμικό ψ μέσω της εξισώσης Poisson

$$\rho = -\epsilon \epsilon_0 \left(\frac{d^2 \psi}{dx^2} \right)$$

Άρα $\frac{d^2 \psi}{dx^2} = \frac{9z\epsilon n_0}{\epsilon \epsilon_0} \sinh\left(\frac{ze\psi}{k_B T}\right)$

Η οποία παραπάνω εξισώσης έχει αρκετές συνθήκες
 $\psi = \psi_0$ για $x = 0$ και $d\psi/dx = 0$ για $x \rightarrow \infty$ δίνει το δυναμικό
 της ηλεκτρικής διπλοστοιβάδας.

Για $ze\psi_0/2k_B T \ll 1$ λεχύνει προσέγγιση Debye-Hückel που
 προβλέπει:

$$\psi(x) = \psi_0 \exp[-Kx]$$

$$\text{με } K = \left(\frac{9e^2 n_0 z^2}{\epsilon \epsilon_0 k_B T} \right)^{1/2}$$

To K^{-1} είναι το λικός θυράκιος Debye ή "τίχος" της δι-
 χρήσ διπλοστοιβάδας (Debye screening length).

Για λικόν η χαρακτηριστικό το K^{-1} η μεταρρυθμική απόσταση Spacη
 ήταν διο φορμής της καταστροφής στην ηλεκτρική διπλοστοιβάδα.

To λικός αυτός είναι αναπόφευκτος ανάλογο της ζειρακυρίκης φύσης
 της εγκεκρίων των ιοντων (η ισοδιαίρεση του αίστος της προστέλε
 στη διαδικασία).

ΗΛΕΚΤΡΙΚΗ ΔΙΠΛΟΣΤΟΙΒΑΔΑ

Παραδείγμα:

Για λονστένες άδας το λήξος ημιράκτιουs Debye σε υδατικό διάλυμα είναι

$$\kappa^{-1} = 0.304 \text{ } I^{-1/2} \text{ nm}$$

όπου I : η διγχεύρηση των άδαρων σε moles/l

Υπολογίζεται $\frac{1}{\kappa}$ για ένα υδατικό διάλυμα $\approx 0.1 \text{ mol/l}$ άδαρων, αφού αποδείχθηκε την παραπόνητη σχέση.

(Δίνεται: $\epsilon_{\text{vap}} = 80$, $\epsilon_0 = 8.854 \cdot 10^{-12} \text{ C}^2/\text{Nm}^2$, $e = 1.602 \cdot 10^{-19} \text{ C}$)

→ Παρατηρούμε ότι ακόμα και για λίγες αυξεντιράστεις άδαρων οι ηλεκτροδιαγόνες αδιδιλεπιδράσεις τελεύτιας φορηστέων αυτών είναι ισχυρές ημιράκτιες (πιέζοντας πολὺ χρήσηρα τε την απόσταση).

- Για δύο ίδιες φορηστέων επιφάνειες σε διάδικτα παρασιά λόγω της αυξεντιράσης της σε συναρμολογημένη επιφάνεια αδιδιλεπιδράσεων είναι:

$$U(H) = \frac{64n_0K_B T}{\kappa} \left[\tanh\left(\frac{ze\psi_0}{4K_B T}\right) \right]^2 \exp(-\kappa H)$$

όπου H : η απόσταση ανάτοιχα στις πλάκες

Η παραπόνητη σχέση ισχύει για $\kappa H \gg 1$ (συστήματα αδιδιλεπιδράσεων)

- Για δύο ίδιες φορηστέων εφαρμόζεται ακίνητη εξισώση:

Για λίγη και ($C < 5$)

$$U(H) \approx 2\pi e\alpha\psi_0^2 \exp(-\kappa H)$$

και για μεγάλη και

$$U(R) = 2\pi e\alpha\psi_0^2 \ln \left[1 + \exp \left[-\kappa a \left(\frac{R}{a} - 2 \right) \right] \right]$$

όπου R η απόσταση ανάτοιχα στα κέντρα των εφαρμόνων.

ΣΥΝΟΛΙΚΗ ΕΝΕΡΓΕΙΑ ΑΛΛΗΛΕΤΑΡΑΣΗΣ
(ΘΕΩΡΙΑ DLVO)

Η συνολική δυνατική ενέργεια αλληλετάρασης αντίσταται σε δύο σημεία σε διάφορα είναι το αδρούστα της δυνατικής αλληλετάρασης που αντιστοιχεύει στις δυνάμεις van der Waals (ελαστικές) και στις μη επεραστικές δυνάμεις (απωνετικές).

$$V_T = V_A + V_R$$

V_R : απωνετική μη επεραστική αλληλετάραση

V_A : ελαστική αλληλετάραση van der Waals.

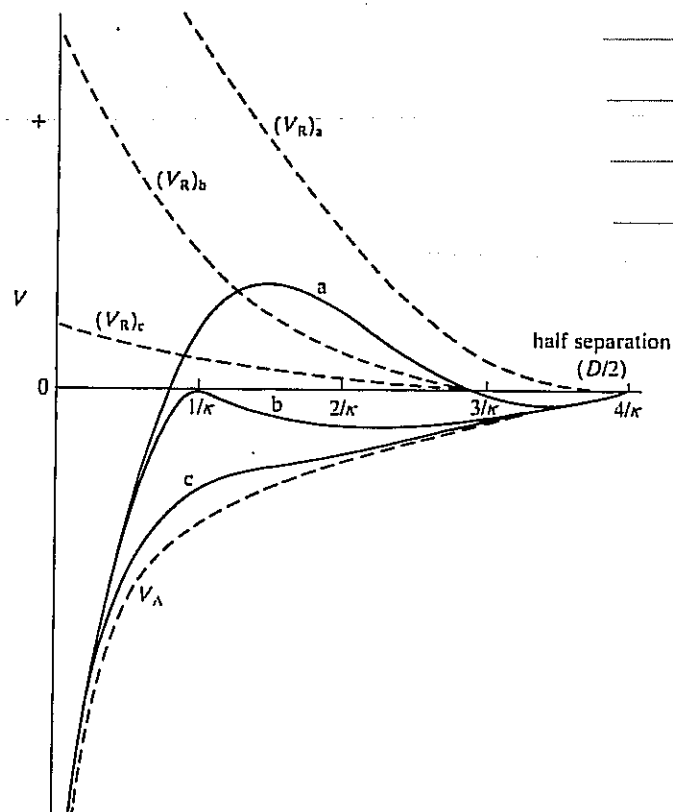


Fig. 1.6.2 Total potential energy of interaction for (a) a stable, (b) a marginally stable, and (c) an unstable sol. Case (b) corresponds to the critical coagulation concentration. The curves $(V_R)_{a,b,c}$ are drawn for different values of surface potential but approximately the same concentration of (indifferent) electrolyte. (From Hunter 1980.)

ΚΟΛΛΟΕΙΔΗ

ΘΕΩΡΙΑ DLVO

ΣΥΝΟΛΙΚΟ ΔΥΝΑΜΙΚΟ ΑΛΛΗΛΕΠΙΔΡΑΣΗΣ
ΜΕΤΑΞΥ ΦΟΡΤΙΣΜΕΝΩΝ ΣΩΜΑΤΙΔΙΩΝ ΤΑΡΟΥΣΙΑ
ΗΛΕΚΤΡΟΛΥΤΗ.

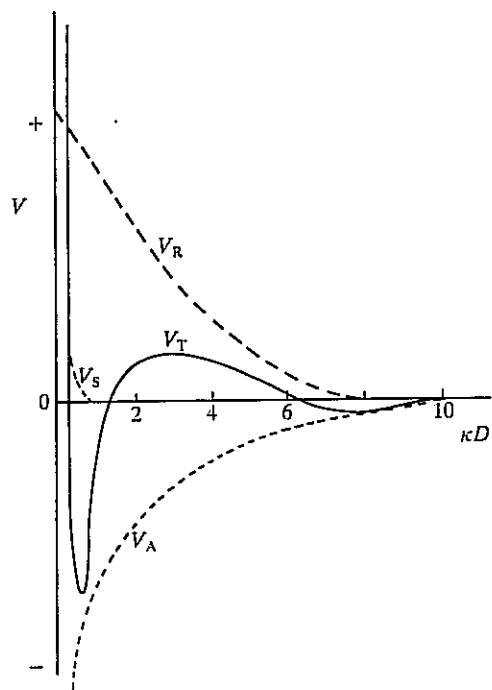


Fig. 12.6.1 Total potential energy of interaction V_T , where V_S is the potential energy of repulsion due to the solvent layers. V_S is assumed to be negligible until $D < \sim 10$ nm.

ΚΟΛΠΟΕΙΔΗ

ΘΕΩΡΙΑ DLVO

- Υπο ποιες συνθήκες θα έχετε αντισηρδία μασωματών
σε ένα κολποειδές διάλυτο;

Σ.Κ.
c.c.) Η ΣΥΓΚΕΝΤΡΩΣΗ ΤΟΥ ΗΛΕΚΤΡΟΛΥΤΗ (ΑΔΑΤΟΣ) ΣΤΗΝ οποία
ΠΑΡΑΤΗΡΟΥΜΕ ΡΑΓΔΑΙΑ ΣΥΣΣΟΜΑΤΟΣΗ ΤΩΝ ΗΛΕΚΤΡΟΣΤΑΤΙΚΑ
ΣΤΑΘΕΡΟΤΟΙ ΗΜΕΝΟΝ ΚΟΛΠΟΕΙΔΩΝ ΛΕΓΕΤΑΙ "ΚΡΙΣΙΜΗ ΣΥΓΚΕΝΤΡΩΣΗ
ΚΡΟΚΙΔΟΣΗΣ" (CRITICAL COAGULATION CONCENTRATION) c.c.

Αυτό θα συβεί όταν το φράγμα στη συναρφύση ενέργεια αδιανθείσθαι
παρενεργεί. Οι συνθήκες για να συβεί αυτό είναι:

$$V_A + V_B = 0 \text{ και } d(V_A + V_B)/dH = 0$$

Για δύο φορμοφένες επιφάνειες ουρές δίνουν $KH = 0$

'Αρα έχουμε:

$$V_T = -\frac{KA}{48\pi} + \frac{64n_0k_BT}{K} \left[\tanh\left(\frac{ze\psi_0}{4k_BT}\right)^2 \exp(-2) \right] = 0$$

ΑΣΚΗΣΗ:

Χρησιμοποιώντας τον οριόθετο του K αποδείξτε ότι η $K.S.K.$
είναι:

$$K.S.K. (\text{mol/l}) = \frac{(4\pi\epsilon_0)^3}{N_A A^2 (ze)^6} \cdot 0.107 \cdot \frac{(k_BT)^5}{\left[\tanh\left(\frac{ze\psi_0}{4k_BT}\right) \right]^2}$$

Για $25^\circ C$ σε υδατικά διαλύτα ($\epsilon = 80$) και για αριστερή λεύκωση
συναρφύση ψ_0 ($\Rightarrow \tanh\left(\frac{ze\psi_0}{4k_BT}\right) \approx 1$) έχετε:

$$K.S.K. (\text{mol/l}) \approx 87 \cdot 10^{-40} / [z^6 A^2]$$

ΘΕΩΡΙΑ DLVO

Η ΚΣΚ ΕΞΑΡΤΑΤΑΙ ΣΗΜΑΝΤΙΚΑ ΑΠΟ ΤΟ ΣΘΕΝΟΣ ΤΩΝ ΙΟΝΤΩΝ

(Ζ) ΑΝΤΙΘΕΤΟΥ ΦΟΡΤΙΟΥ (ΑΠΟ ΑΥΤΟ ΤΟΥ ΚΟΛΠΟΕΙΔΟΥΣ) ΤΟΥ ΗΛΕΚΤΡΟΛΥΤΗ. ΕΙΝΑΙ ΑΝΕΞΑΡΤΗΤΗ ΑΠΟ ΤΟ ΕΙΔΟΣ ΤΩΝ ΙΟΝΤΩΝ, ΤΗΝ ΣΥΓΚΕΝΤΡΩΣΗ ΤΟΥ ΚΟΛΠΟΕΙΔΟΥΣ ΆΛΛΑ ΕΞΑΡΤΑΤΑΙ ΑΠΟ ΤΟ ΕΙΔΟΣ ΤΟΥ ΚΟΛΠΟΕΙΔΟΥΣ ΚΑΙ ΤΟΥ ΔΙΑΛΥΤΗ (ΜΕΣΟ ΤΗΣ ΣΤΑΘΕΡΑΣ ΗΛΑΚΕΡ)

(ΚΑΝΟΝΑΣ ΤΩΝ SCHULZE-HARPY)

Πίνακας 9.1:

Κρίσιμη συγκέντρωση χροκίδωσης υδρόφοβων κολποειδών (mmol/l)

As_2S_3 (αρνητικά φορτισμένο λύμα)	AgI (αρνητικά φορτισμένο λύμα)	Al_2O_3 (θετικά φορτισμένο λύμα)			
LiCl	58	LiNO ₃	165	NaCl	43.5
NaCl	51	NaNO ₃	140	KCl	46
KCl	49.5	KNO ₃	136	KNO ₃	60
KNO ₃	50	RbNO ₃	126		
CH ₃ COK	110	AgNO ₃	0.01		
CaCl ₂	0.65	Ca(NO ₃) ₂	2.40	K ₂ SO ₄	0.30
MgCl ₂	0.72	Mg(NO ₃) ₂	2.60	K ₂ Cr ₂ O ₇	0.63
MgSO ₄	0.81	Pb(NO ₃) ₂	2.43	οξαλικό K ₂	0.69
AlCl ₃	0.093	Al(NO ₃) ₃	0.067	K ₃ [Fe(CN) ₆]	0.08
1/2Al ₂ (SO ₄) ₃	0.096	La(NO ₃) ₃	0.069		
Al(NO ₃) ₃	0.095	Ce(NO ₃) ₃	0.069		

ΣΤΑΘΕΡΟΠΟΙΗΣΗ ΚΟΛΛΟΕΙΔΩΝΣΤΕΡΙΚΕΣ ΑΛΛΗΛΕΠΙΔΡΑΣΕΙΣ

Σταθεροποίηση κολλοειδών ευγενιδίων λόγω της προσαρμοποίησης της συγένειας των προσρόφητην πολυμερικών αλυσίδων πάνω στην επιφάνεια των ευγενιδίων.

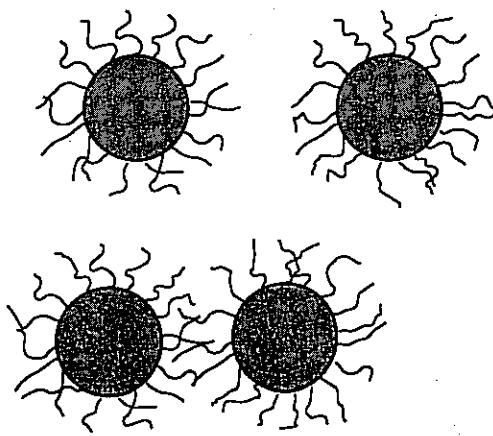


Fig. 4.4 Stabilisation of colloids with grafted polymers. When the particles come close enough for the grafted polymers to overlap, a local increase in polymer concentration leads to a repulsive force of osmotic origin.

- Οι πολυμερικές αλυσίδες λόγω της είναι προσαρμοποίηση στην επιφάνεια του κολλοειδούς. Η χημική δοσούς ή εξαίρεσης φυσικών ελεγκτικών αδικτυωμάτων. Η ενέργεια του δεσμού, σε κάθε περίπτωση, πρέπει να είναι αρκετά μεγάλη για την θρήψη ενέργεια, Κ.Β.Τ., έτσι ώστε να γίνεται απορρόφηση των αλυσίδων από την επιφάνεια των ευγενιδίων.
- Για να είναι απορρέστακη η στερική αδικτυωμάτων στη σταθεροποίηση των κολλοειδών πρέπει ο διαδικτυος να είναι καθός. Σήμερα πολλά θ) για το πολυμερές που έχει προσροφηθεί στην επιφάνεια του κολλοειδούς.

Αν ο διαδικτυος είναι καθός, οι ελεγκτικές αδικτυωμάτων ανήκουν στη προσαρμοποίηση αλυσίδες βα συνήθησαν στη συσσωμάτωση των κολλοειδών και γενικά διαχωρίστηκε στα δύο φάσεις.

ΣΤΕΡΙΚΗ (ΠΟΛΥΜΕΡΙΚΗ) ΣΤΑΘΕΡΟΠΟΙΗΣΗ

- ΠΟΙΟΣ ΕΙΝΑΙ Ο ΜΗΧΑΝΙΣΜΟΣ ΤΗΣ ΣΤΕΡΙΚΗΣ ΣΤΑΘΕΡΟΠΟΙΗΣΗΣ;

→ ΟΤΑΝ ΔΥΟ ΚΟΛΛΟΕΙΔΗ ΠΛΗΣΙΑΖΟΥΝ ΜΕΤΑΞΥ ΤΟΥΣ ΕΤΣΙ ΟΣΤΕ
ΤΟΙ ΠΟΛΥΜΕΡΙΚΟΙ ΜΑΝΔΥΣ ΤΟΥΣ ΝΑ ΑΠΛΗΛΟΕΤΙΚΑΛΥΠΤΟΝΤΑΙ.
Η ΣΥΓΚΕΝΤΡΩΣΗ ΤΩΝ ΠΟΛΥΜΕΡΙΚΩΝ ΑΛΥΣΙΔΩΝ, ΣΤΟΝ ΧΩΡΟ ΑΝΑΜΕΣΑ
ΣΤΑ ΣΩΜΑΤΙΔΙΑ, ΑΥΞΑΝΕΙ. ΑΥΤΟ ΟΔΗΓΕΙ ΣΕ ΑΥΞΗΣΗ ΤΗΣ ΟΣΜΟΤΙΚΗΣ
ΠΙΕΣΗΣ ΤΟΥ ΤΡΟΚΑΔΕΙ ΜΙΑ ΑΠΟΣΤΙΧΗ ΔΥΝΑΜΗ ΑΝΑΜΕΣΑ ΣΤΑ
ΣΩΜΑΤΙΔΙΑ.

→ ΟΤΑΝ ΔΥΟ ΚΟΛΛΟΕΙΔΗ ΠΛΗΣΙΑΖΟΥΝ, ΤΑ ΤΙΡΟΣΡΟΦΗΜΕΝΑ ΠΟΛΥΜΕΡΗ
ΣΥΜΠΛΙΕΖΟΝΤΑΙ ΚΑΙ ΑΠΛΗΛΟΔΙΕΙΣΔΥΟΥΝ ΤΡΟΚΑΔΟΝΤΑΣ ΜΙΑ
ΜΕΙΟΣΗ ΤΟΥ ΣΥΝΟΛΙΚΟΥ ΑΡΙΘΜΟΥ ΤΩΝ ΔΙΑΜΟΡΦΩΣΕΩΝ ΚΑΙ ΑΡΑ
ΤΗΣ ΕΝΤΡΟΠΙΑΣ. ΣΥΝΕΠΟΣ ΕΙΝΑΙ ΕΝΕΡΓΕΙΑΚΑ ΠΡΟΤΙΜΗΤΟ ΝΑ
ΒΡΙΣΚΟΝΤΑΙ ΤΑ ΣΩΜΑΤΙΔΙΑ ΤΩΝ ΚΟΛΛΟΕΙΔΩΝ ΣΕ ΑΠΟΣΤΑΣΗ
ΜΕΤΑΞΥ ΤΟΥΣ ΕΤΣΙ ΟΣΤΕ ΝΑ ΕΧΟΥΜΕ ΜΕΙΣΤΟΠΟΙΗΣΗ ΤΗΣ ΕΝΤΡΟΠΙΑΣ
ΤΩΝ ΤΙΡΟΣΡΟΦΗΜΕΝΩΝ ΠΟΛΥΜΕΡΩΝ.

- Το εύρος στη στερική αδιαδειδμασης καθορίζεται από
το λέγετο του πολυμερικού βανδία. Το λέγετο αυτό εξαρτάται
από το φοριακό βάρος στων πολυμερών και στην επιφανειακή
πυκνότητα προσβράψης.

Είναι εξαρτάται από την ποιότητα του διαδύντο.

Κοπποειδή

ΣΤΕΡΙΚΗ (ΠΛΟΥΜΕΡΙΚΗ) ΣΤΑΘΕΡΟΤΟΙΝΣΗ.

- Η ΑΠΟΣΤΙΚΗ ΣΤΕΡΙΚΗ ΑΛΗΛΕΤΠΙΔΡΑΣΗ ΜΕΙΩΝΕΤΑΙ ΜΕ ΤΗΝ ΜΕΙΟΣΗ ΤΗΣ ΕΠΙΦΑΝΕΙΑΣΣΗΣ ΠΥΚΝΟΤΗΤΑΣ ΠΡΟΣΩΦΗΣΗΣ.

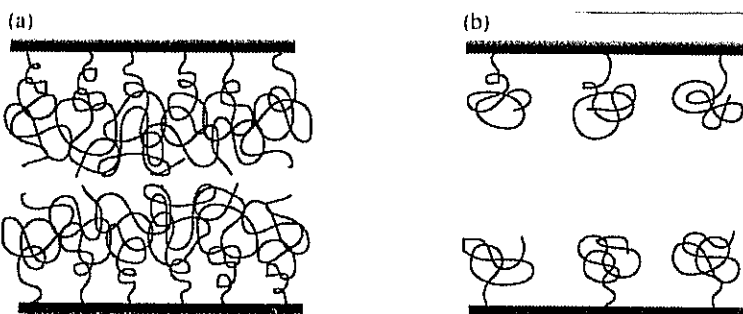


Figure 3.7 Polymer chains grafted at a planar interface: (a) brushes, at high grafting density, (b) mushrooms, at low grafting density

- ΓΙΑ ΝΑ ΞΟΥΜΕ ΣΤΑΘΕΡΟΤΟΙΝΣΗ ΤΗ ΑΠΟΣΤΙΚΟ ΜΕΡΟΣ ΤΗΣ ΔΥΝΑΜΙΚΗΣ ΕΝΕΡΓΕΙΑΣ ΠΡΕΤΕΙ ΝΑ ΕΧΕΙ ΑΡΚΕΤΗ ΕΜΒΕΛΕΙΑ ΕΤΣΙ ΟΣΤΕ ΝΑ ΕΜΠΟΔΙΖΕΙ ΤΑ ΣΩΜΑΤΙΔΙΑ ΝΑ ΕΡΘΟΥΝ ΤΟΣΟ ΚΟΝΤΑ ΌΣΟ ΧΡΕΙΑΖΕΤΑΙ ΝΑ ΕΡΘΟΥΝ ΓΙΑ ΝΑ ΔΡΑΣΟΥΝ ΟΙ ΕΛΕΤΙΚΕΣ ΑΛΗΛΕΤΠΙΔΡΑΣΕΙΣ (VAN DER WAALS)

(a) Απώλεικο φέρος →

των δυνατικής ενέργειας

(i) → (iv): Φεύγεται η

επιφανειακή πυκνότητα των

προσφερόμενων αδυσίδων

(B) Συνοδική δυνατική

ενέργεια αληλεπιδρασης.

Στην περίπτωση (iv) δεν

έχει σταθεροποίηση.

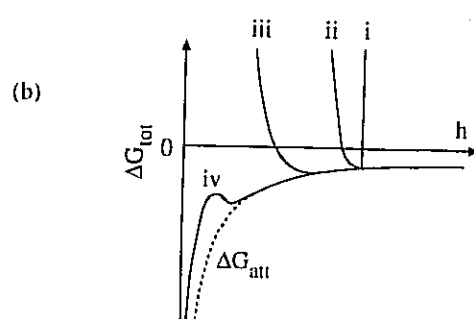
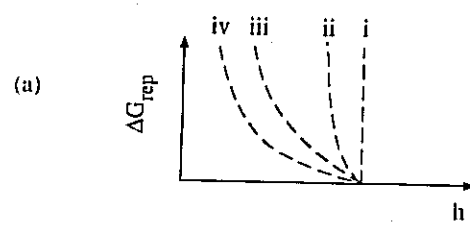


Figure 3.8 Potential energy curves for a pair of sterically stabilized colloid particles, separated by a distance h . (a) Repulsive contribution to the free energy, (b) attractive contribution and total free energy. The grafting density decreases from i to iv

ΣΤΕΡΙΚΗ (ΠΟΛΥΜΕΡΙΚΗ) ΣΤΑΘΕΡΟΤΟΙΧΗΣΗΣΥΓΚΡΙΣΗ ΣΤΕΡΙΚΗΣ ΚΑΙ ΗΛΕΚΤΡΟΣΤΑΤΙΚΗΣΣΤΑΘΕΡΟΠΟΙΗΣΗΣ

Στερική Σταθεροποίηση	Ηλεκτροστατική Σταθεροποίηση
<ol style="list-style-type: none"> Δεν επηρεάζεται από την παρουσία ηλεκτρολυτών Εξίσου αποτελεσματική σε υδατικά και μη υδατικά μέσα διασποράς Εξίσου αποτελεσματική σε αραιά και πυκνά κολλοειδή συστήματα Συχνά οδηγεί σε αντιστρεπτή θρόμβωση Οδηγεί σε καλή σταθερότητα κατά τη θερμική καταπόνηση των κολλοειδών σε κύκλους κατάψυξης/απόψυξης 	<ol style="list-style-type: none"> Η προσθήκη ηλεκτρολυτών σε ηλεκτροστατικά σταθεροποιημένα κολλοειδή οδηγεί σε συσσωμάτωση Αποτελεσματική, κυρίως, σε υδατικά μέσα διασποράς Αποτελεσματική, κυρίως, σε αραιές κολλοειδείς διασπορές Η προκαλούμενη συσσωμάτωση είναι συχνά αναντίστρεπτη Η κατάψυξη οδηγεί, συνήθως, σε αναντίστρεπτη κροκίδωση

ΚΟΛΛΟΕΙΔΗ

ΔΥΝΑΜΕΙΣ ΑΠΟΧΛΕΙΣΜΟΥ

ΔΥΝΑΜΕΙΣ ΑΠΟΧΛΕΙΣΜΟΥ

(Depletion forces)

- ΟΤΑΝ ΣΕ ΜΙΑ ΔΙΑΣΠΟΡΑ ΚΟΛΛΟΕΙΔΩΝ ΣΩΜΑΤΙΔΙΩΝ ΤΡΟΣΕΕΣΟΥΜΕ ΠΟΛΥΜΕΡΗ ΜΕ ΓΥΡΟΣΚΟΠΙΚΗ ΑΚΤΙΝΑ ΜΙΚΡΟΤΕΡΗ ΑΠΟ ΤΗΝ ΑΚΤΙΝΑ ΤΩΝ ΣΩΜΑΤΙΔΙΩΝ ΕΠΑΓΕΤΑΙ (ΣΕ ΣΥΓΚΕΝΤΡΩΣΕΙΣ ΤΟΥ ΠΟΛΥΜΕΡΟΥΣ ΜΕΓΑΛΥΤΕΡΕΣ ΆΤΙΟ ΜΙΑ ΚΡΙΣΙΜΗ ΣΥΓΚΕΝΤΡΩΣΗ) ΜΙΑ ΕΛΚΤΙΚΗ ΔΥΝΑΜΗ ΑΝΑΜΕΣΑ ΣΤΑ ΚΟΛΛΟΕΙΔΗ (ΔΥΝΑΜΗ ΑΠΟΧΛΕΙΣΜΟΥ).

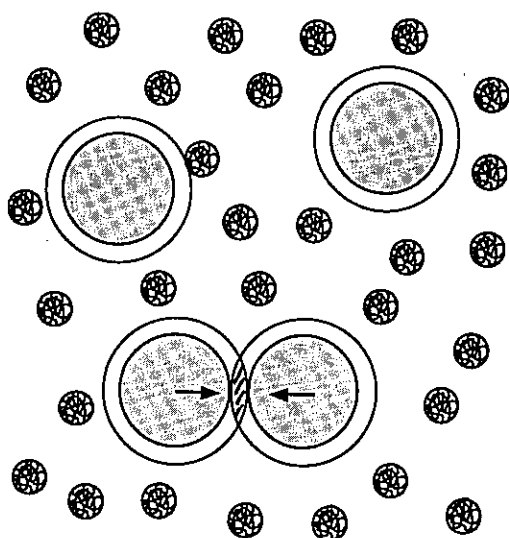


Fig. 4.5 The depletion interaction. Polymer coils are excluded from a depletion zone near the surface of the colloidal particles; when the depletion zones of two particles overlap there is a net attractive force between the particles arising from unbalanced osmotic pressures.

• Η ΔΥΝΑΜΗ ΑΠΟΧΛΕΙΣΜΟΥ

ΤΡΟΚΥΤΤΙΤΕΙ ΚΑΘΕ ΦΟΡΑ ΤΙΟΥ

ΠΡΟΣΤΙΘΕΤΑΙ ΣΤΗΝ ΚΟΛΛΟΕΙΔΗ

ΔΙΑΣΠΟΡΑ ΕΝΑ ΣΩΜΑΤΙΟ ΜΕ ΜΕΓΕΘΟΣ

ΕΝΔΙΑΜΕΣΟ ΑΝΑΜΕΣΑ ΣΤΟ ΚΟΛΛΟΕΙΔΗ ΚΑΙ ΤΟΝ ΔΙΑΠΥΤΗ.

• Η ΔΥΝΑΜΗ ΑΠΟΧΛΕΙΣΜΟΥ

ΟΦΕΙΛΕΤΑΙ ΣΤΗΝ ΟΣΜΟΤΙΚΗ

ΠΙΕΣΗ ΤΙΟΥ ΑΣΚΟΥΝ ΤΑ ΠΟΛΥΜΕΡΗ

(Η ΑΝΑ ΣΩΜΑΤΙΔΙΑ) ΣΤΑ ΣΩΜΑΤΙΔΙΑ ΤΩΝ ΚΟΛΛΟΕΙΔΩΝ.

ΙΣΟΔΥΝΑΜΑ:

- ΟΦΕΙΛΕΤΑΙ ΣΤΗΝ ΑΥΞΗΣΗ ΤΗΣ ΕΝΤΡΟΠΙΑΣ ΑΝΑΜΕΙΞΗΣ ΤΩΝ ΠΟΛΥΜΕΡΩΝ Η οποία προκύπτει από την μείωση της απαγορευμένης περιοχής γύρω από τα σωματία στην οποία τα πολυμερή δεν μπορούν να εισέλθουν. Η μείωση αυτής της περιοχής συμβαίνει όταν δύο σωματίδια έρχονται κοντά στοιχεία της οστειδικής περιοχής αποκλεισμού τους να αλληλοεπικαλυπτούνται.

ΚΟΛΛΟΕΙΔΗ

ΔΥΝΑΜΕΙΣ ΑΠΟΚΛΕΙΣΜΟΥ

Οι δυνάμεις αποκλειστού (depletion forces) είναι ελεκτρικές και σημαντικές σε συσσωμάτωση (η και κρυσταλλική σε κάποιες περιπτώσεις) των κολλοειδών.

Ο ληχανιστός αυτός συσσωμάτωσης ονομάζεται "θρόψιση πολυτερικού αποκλειστού" ή "πολυτερικής αραιότητας" (Στην Εδιππική Βιβλιογραφία συναντίστηκε και την ισοδύναμη ονομασία "πολυτερικής αραιότητας" που περιγράφει το ίδιο φαινόμενο)

- ΣΕ ΕΝΑ ΑΡΑΙΟ ΔΙΑΛΥΜΑ ΠΛΟΥΤΟΜΕΡΩΝ (Η ΆΛΛΩΝ ΣΩΜΑΤΙΔΙΩΝ)

Η ουμοτική τιμή ορίζεται από την σχέση των ιανικών αερίων:

$$P_{osm} = \frac{N}{V} k_B T$$

όπου N/V η αριθμητική πυκνότητα των πολυτερίν.

- Η ΣΥΝΟΛΙΚΗ ΔΥΝΑΜΙΚΗ ΕΝΕΡΓΕΙΑ ΑΠΟΗΛΕΠΙΔΡΑΣΗΣ ΔΥΟ ΣΩΜΑΤΙΔΙΩΝ ΕΞΑΙΤΙΑΣ ΤΗΣ ΔΥΝΑΜΗΣ ΑΠΟΚΛΕΙΣΜΟΥ ΕΙΝΑΙ:

$$F_{dep} = -P_{osm} \cdot V_{dep}$$

όπου V_{dep} είναι ο συνολικός όγκος ανάτεσα στη συμβιδία από τον οποίο αναρτίνεται τα πολυτερά. Ή αλλιώς κολλοειδής σφαίρες ακτίνας a σε απόσταση r έχουν την συμβιδία:

$$V_{dep} = \frac{4\pi}{3} (a+L)^3 \left(1 - \frac{3r}{4(a+L)} + \frac{r^3}{16(a+L)^3} \right)$$

όπου L η τιμή της ζεύγης αποκλειστού γύρω από κάπια συμβιδία.

ΚΟΛΠΟΙΔΗ

ΣΤΑΘΕΡΟΤΟΙΧΗ ΚΑΙ ΦΑΣΙΚΗ ΣΥΜΠΕΡΙΦΟΡΑ

- ΟΙ ΑΠΟΗΛΕΤΙΔΡΑΣΙΣ ΑΝΑΜΕΣΑ ΣΤΑ ΚΟΛΠΟΙΔΗ ΣΩΜΑΤΙΔΙΑ
ΜΠΟΡΕΙ ΝΑ ΕΙΝΑΙ ΕΛΕΚΤΙΚΕΣ ή ΑΠΟΣΤΙΚΕΣ
ΤΟ ΕΙΔΟΣ ΤΗΣ ΑΠΟΗΛΕΤΙΔΡΑΣΗΣ ΚΑΘΟΡΙΖΕΙ ΤΗΝ ΦΑΣΙΚΗ ΣΥΜΠΕ-
ΡΙΦΟΡΑ ΤΟΥ ΣΥΣΤΗΜΑΤΟΣ.
- Εξαιτίας της ανάδριξης που υπόχει ανάθεση στην φασική
συμπεριφορά κολπούδων διασπορών (σαν συνάρτηση των αδηλωτιδρά-
σεων μεταξύ των κολπούδων συγγένων) ή επί την φασική συμπεριφο-
ρά των αροφίκων και λαρικών υλικών (αέρια - υγρά - στερεή φάση)
τα κολπούδη συστήνεται αποτελούντα πρόσωπα συστήματα όπως τα
τελείων της επιδράσης των αδηλωτιδράσεων στην φασική συμπεριφο-
ρά. Στην περίπτωση αυτή τα κολπούδη συμβάσια πλαιρών της θέσης
των αροφίων (η λαρική) στην συνθήσεις υλικών.
- Με ποιους γραπτούς φύλοφορές να έχετεριψατε μια απωτική αδη-
λωτιδράση σε ελαστική σε ένα συστήμα κολπούδων;
- Προσδέχεταις αίδας σε ένα αιώρη λιπαροβολταζίκη στερ-
εροπολιένικης καλύβευσης. Με τον γράπτο αυτό διεκδικείται ο "ήχος
διαρροίσματος Debbye" και την ένταση των λιπαροβολταζίκων απλοτελών
σε σχέση με την έδρανη van der Waals.
- Προσδέχεταις καρκούδια σε ένα αιώρη στερεία στερ-
εροπολιένικης καλύβευσης. Υπό αυτές στις συνθήκες η αδηλωτιδράση
ανάθεση στα πολύτερη που είναι προσροφητέα πάσι στην επιφάνεια
των κολπούδων συγγένων είναι ελαστική και αδηλωτή σε έλξη ανάθεση
στα συγγένεια.

ΣΤΑΘΕΡΟΠΟΙΗΣΗ ΚΑΙ ΦΑΣΙΚΗ ΣΥΜΠΕΡΙΦΟΡΑ

- Τίσις εισάγοντες ελακτικές αλληλεπιδρίσεις σε ένα αιχμής κοννοειδών:
- Απολυκρίνωνται για προστροφήνα πολύτερή από την επιφάνεια των κοννοειδών συμβιδίων επιτρέποντες να δρίσουν οι ελακτικές δυνάμεις van der Waals.
 - Τηρούντωντας τικτυφέρεις αλυσίδες του εισάγοντων ελακτικών συνάλιες αποκλείστοι ανάτοξα στα κοννοειδή συμβιδία.

• ΟΙ ΤΙΘΑΝΕΣ ΕΠΙΠΤΩΣΕΙΣ ΤΗΣ ΤΙΡΟΣΘΗΗΣ ΠΟΛΥΜΕΡΩΝ
ΣΕ ΚΟΝΝΟΕΙΔΗΣ ΔΙΑΣΤΟΡΕΣ

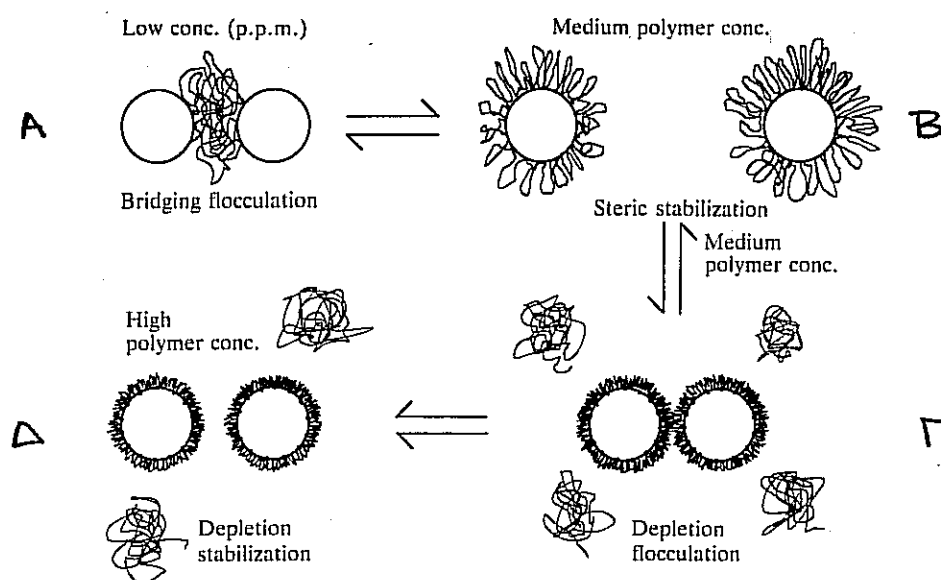


Fig. 12.9.5 Effects of polymer chains on colloidal dispersion. Bridging flocculation can occur at very low polymer concentration. Steric stabilization requires moderate polymer concentration and the polymer must be adsorbed and anchored. Free polymer effects occur only at moderate to high polymer concentration; depletion flocculation is an osmotic effect whereas depletion stabilization involves the work done in separating polymer from water as particles approach the final stages of interaction.

ΠΕΡΙΠΤΩΣΕΙΣ Α και Γ: ΘΡΟΜΒΩΣΗ ΕΞΑΙΤΙΑΣ ΕΛΕΓΚΩΝ ΑΛΛΗΛΕΠΙΔΡΑΖΕΩΝ.

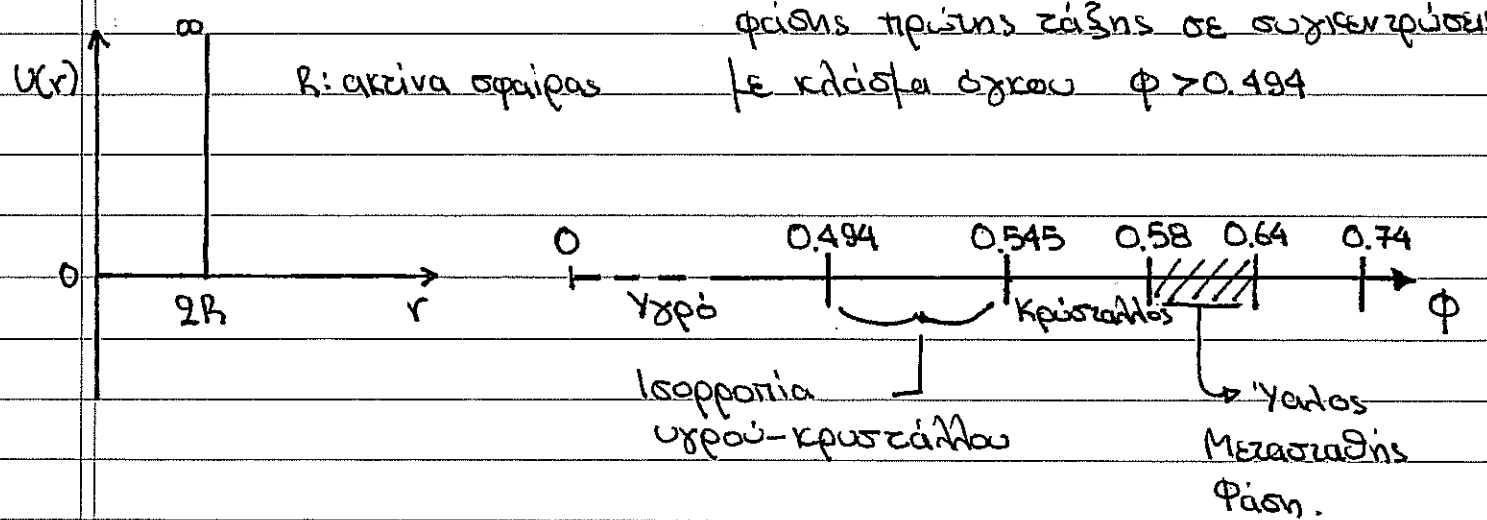
ΠΕΡΙΠΤΩΣΕΙΣ Β και Δ: ΣΤΑΘΕΡΟΠΟΙΗΣΗ ΛΟΓΩ ΣΤΕΡΙΚΩΝ Η ΔΥΝΑΜΕΩΝ ΑΠΟΚΛΕΙΣΜΟΥ.

ΚΡΥΣΤΑΛΛΩΣΗ ΚΟΛΠΟΙΔΩΝ ΑΙΘΡΗΜΑΤΩΝ

ΤΟ ΑΠΛΟ ΜΟΝΤΕΛΟ ΤΗΝ ΣΧΛΗΡΩΝ ΣΦΑΙΡΩΝ.

→ Όταν οι δυνάμεις αδιπλασίας είναι απώτικες για δες τις αποστάσεις των ακτίνων είναι σταθερές (δεν έχει συσαρφαγήση).

→ Για επιφάνεια (είναι πολυβιαστόρα) (με πολύ στενή κατανομή φεγγίων) και δυνατικό ακτίνων σφαιρών παρατηρείται ότι η τετράγωνη φάσης τηρείται στάθμης σε συγκεντρώσεις



- ① Για $\phi < 0.494$ το αίσθητο βρίσκεται στην υγρή φάση. Τα επιφάνεια είναι τυχαία διασπαρτένα (έστια στα διαλύτη) και κινούνται τυχαία υπό την επίδρεση των θερμικών δυνάμεων (Κινητή Brown) σύμφωνα (είναι λογικό την τυχαία περιπέτεια).
- ② Σε περιοχή συγκεντρώσεων $0.494 < \phi < 0.545$ το αίσθητο βα διαχωρίστει αυθόρυβα σε δύο φάσεις: ή αριθμό σε κονδυλική επιφάνεια ($\phi = 0.494$), σφαιρική, υγρή φάση και ή αριθμό σε κονδυλική ($\phi = 0.545$) (είναι κρισταλλική, κρυσταλλική θάλασση).

Το ποσοστό της κάθε φάσης καθορίζεται από την συγκέντρωση (συγκέντρωση) των κονδυλίων: $x_{cr} = \frac{V_{cr}}{V_{tot}} = \frac{\phi - 0.494}{0.545 - 0.494}$ (Ποσοστό κρυσταλλικής φάσης.)

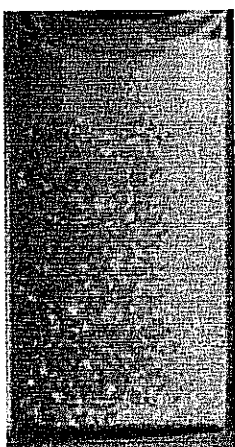
ΚΡΥΣΤΑΛΛΟΣΗ ΚΟΛΠΟΙΔΩΝ ΑΙΩΡΗΜΑΤΩΝ

Στο λογίδιο των αστηρών σφαιρών η λεπάβηση από την υγρή (άλφαρφη) φάση συν κρυσταλλίζει fe την αύξηση της συγκέντρωσης οφείλεται καθαρά σε ΕΝΤΡΟΠΙΚΟΥΣ λόγους!

*** Η ΜΕΓΙΣΤΟΠΑΝΗΣΗ ΤΗΣ ΕΝΤΡΟΠΙΑΣ ΟΔΗΓΕΙ ΣΤΗΝ ΚΡΥΣΤΑΛΛΟΣΗ ***

Αν και παρόμοιο σε πρώτη φασή είναι γεγονός ότι η κρυσταλλώση του αιωρίφαρος σε συγκεντρώσεις $\phi > 0.494$ οδηγεί σε αύξηση της εντροπίας του συγκέντρωσης. Αυτό αφείλεται στο ότι σε δεδεμένη συγκέντρωση σε fia κρυσταλλίδην δόψη (fe γριαδιάλαγμα γάζη) τοπικά κάτιστε συγκέντρωση έχει συν διάθεσην την πλησσόμενη πλευρά $\phi \approx 0.494$ από ότι σε fia άλφαρφη ($\text{χρήσις} \text{rafia} \text{ γάζη}$) κατέσταση*. Είναι ο αριθμός των πιθανών διέσευν σας οποιες προπεί να βρεθεί ένα συγκέντρωση αυξάνει όταν βρίσκεται σε κρυσταλλό και αριθμός αυξάνει και η εντροπία του συγκέντρωση.

* Π.χ. Το κλαστικό άγκου του ανιστροχεί στην λέξην Suvarn συγκέντρωση είναι 0.79 χιλικρυσταλλίδην δόψη FCC ή HCP αντί $\phi_0 \approx 0.64$ για άλφαρφο αιωρίφαρο.



- Τα κολποίδη αιωρίφαρα

δια $\phi \approx 0.494$ κρυσταλλών
ναι Rhois ή fepicē (σε
ισορροπία fe υγρή φάση)
σε fia πυκνών εξαγωγικών
(HCP) ή εδροκεντρικών
(FCC) δόψην.

ΚΡΥΣΤΑΛΛΟΣΗ ΚΟΛΠΟΕΙΔΩΝ ΑΙΘΡΗΜΑΤΩΝ.ΣΧΗΜΑΣ ΣΦΑΙΡΕΣ:

- Σε περιοχή συγκέντρωσης με κάποια σχέση $0.494 < \varphi < 0.545$ οι αιθρία διαχωρίζονται σε υγρό και κρυσταλλική φάση.
- Για $\varphi > 0.545$ η κατάσταση ευθαδύσης ισορροπίας είναι η κρυσταλλική φάση.

→ ΤΙΑ ΚΡΥΣΤΑΛΛΙΚΗ ΔΟΜΗ ΕΧΕΙ ΤΗΝ ΧΑΜΗΛΟΤΕΡΗ ΕΝΕΡΓΕΙΑ;

↳ Η ΚΑΤΑΣΤΑΣΗ ΕΠΑΧΙΣΤΗΣ ΕΝΕΡΓΕΙΑΣ ΕΙΝΑΙ Η FCC ΔΟΜΗ.

Το σύστημα όψης κρυσταλλίνεται σε ένα fixt FCC και HCP.

Οι δύο δομές έχουν πολύ μερική ενεργυτική διαφορά.

→ Η φάση που προκύπτει είναι πολυκρυσταλλική (κρυσταλλizes με τώρα προσανατολισμό).

→ Μονοκρυσταλλούς μπορεί να φτιάξουμε με ειδικές λεθδώσεις π.χ. κρυσταλλών υπό διαρροή. (Crystallisation under shear).

• ΜΟΝΟΚΡΥΣΤΑΛΛΟΙ ΧΩΡΙΣ ΑΤΕΛΕΙΕΣ ΕΧΟΥΝ ΕΦΑΡΜΟΣΕΣ ΣΕ ΦΟΤΟΝΙΚΑ ΥΛΙΚΑ.

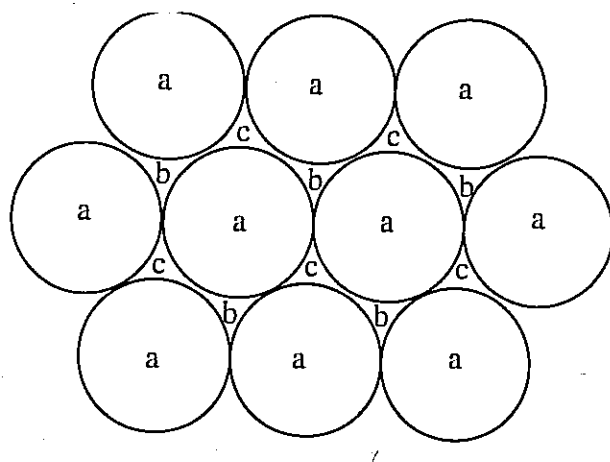


Fig. 4.7 A single close-packed layer, illustrating that there are two sites on which a second close-packed layer can be placed: b and c.

Η διαφορά αυτήσα στην FCC (εδροκεντρική) και στην HCP (πικρή εδροκεντρική) δομή συνιστάται στην διάταξη των ζετοδεσμών το δεύτερο και τρίτο επίπεδο.

ΚΟΛΠΟΙΔΗΚΡΥΣΤΑΛΛΩΣΗ ΚΟΛΠΟΙΔΩΝ ΑΙΘΡΗΜΑΤΩΝ.ΣΥΣΤΗΜΑΤΑ ΜΕ ΑΠΟΣΓΙΣ ΜΑΧΡΑΣ ΓΙΒΕΛΕΙΑΣ.

Σε αυστηρά κολποίδια τε ιδεακρατούνται σταθεροποίηση
απωτικές δυνάμεις λεγόμενες ως αντανάκλιση (η οποία να είναι
αρκετά λαριστής εξέβενταις ανάλογα με την αυχενικώσαν άδαρος
που προσβάλλει στο δίστημα).

- ΟΣΟ ΜΕΓΑΛΥΤΕΡΟ ΕΙΝΑΙ ΤΟ ΜΗΚΟΣ ΘΕΡΑΚΙΣΗΣ DEBYE (ΟΣΟ ΜΙΚΡΟΤΕΡΗ ΕΙΝΑΙ Η ΣΥΓΚΕΝΤΡΩΣΗ ΑΝΑΤΟΣ) ΤΟΣΟ ΜΙΚΡΟΤΕΡΗ ΕΙΝΑΙ Η ΣΥΓΚΕΝΤΡΩΣΗ ΣΤΗΝ οποία ΠΑΡΑΤΗΡΟΥΜΕ ΚΡΥΣΤΑΛΛΩΣΗ.

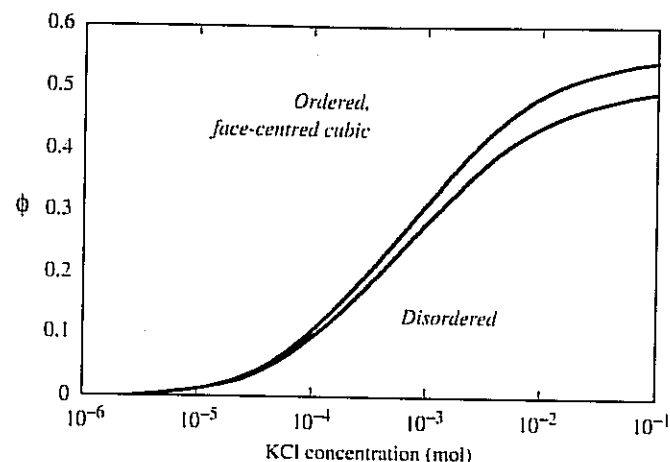


Fig. 4.8 Phase diagram for charged spheres in a polyelectrolyte solution as a function of the volume fraction of spheres ϕ and the concentration of salt, as calculated for spheres of radius $0.1 \mu\text{m}$ with surface charge $5000e$. After Russel *et al.* (1989).

↳ ΕΞΑΙΤΙΑΣ ΤΗΣ ΑΠΟΣΤΙΧΗΣ ΑΠΛΗΛΕΠΙΔΡΑΣΕΙΣ ΤΑ ΚΟΛΠΟΙΔΗ ΣΥΜΠΕΡΙΦΕΡΟΝΤΑΙ ΣΑΝ ΣΚΛΗΡΕΣ ΣΦΑΙΡΕΣ ΜΕ ΜΕΓΑΛΥΤΕΡΗ ΔΙΑΜΕΤΡΟ ΑΠΟ ΤΗΝ ΦΥΣΙΚΗΣ ΤΟΥΣ ΔΙΑΜΕΤΡΟ.

↳ Σε αρκετές λεγόμενες αυχενικώτερες άδαρος τα λήκαιμα θεράκισης
τινίνεται πάσο πολὺ στεγε τα φοριστένα κελλούδια συγκεντρώνονται
αυσιαστικά σαν σκληρές σφαίρες και η λεγόμενη από υγρό σε
κρυσταλλο συβαίνει σε $\phi \approx 0.5$.

ΚΟΛΠΟΙ ΔΗ

ΣΥΣΤΗΜΑΤΑ ΜΕ ΕΛΣΤΙΚΕΣ ΑΠΛΗΣΙΑΡΑΣΕΙΣ

- Αν απλησιάρασες ανήσυχα στα κολπούδια συγκέντρωσης είναι ελαστικές λύσης, υπό κατάλληλες συνθήσεις, να παρατηρήσουμε ηταίρωση φάσης αντιστοιχη τε στη ηταίρωση από αέριο σε υγρό στα λοφιαρά συστήματα.
Μπορεί λοιπόν να αιώνια να διαχωριστεί σε δύο φάσεις ή σε διαφορετικές συγκεντρώσεις (λιχρή και γεγάλη) δύοντας και οι δύο είναι α'φορρές.
- Πρώτη σύστημα τε τέλοια αυτοπεριφορά είναι τα λεγόμενα κολπούδια-πολυμερών σε διάλυψη. Η προστική πολυμερών (που δεν προσφέρει σεν επιφάνεια των κολπούδων) τα κολπούδια (π.χ. τα στερικά μαθηραΐδια) επίσηται ασθενή ελαστική δύναμη αποκατεύονται. Τα σύστημα αυτά προσένα δύοις ισορροπίαι: α) Άφορρου (Ρευστού) ή ερυζαντό, β) "Αέριο" (Σηλ. αραιού κολπούδων ακαρίνιας ή "Υγρός" (Σηλ. αιραντά) ή ηταίρωση συγκεντρων κολπούδων. γ) Τρίτη ισορροπία: "Αέριου", Υγρού και Ερυζαντού, και δ) Ισορροπία "αέριου" ή ερυζαντού.

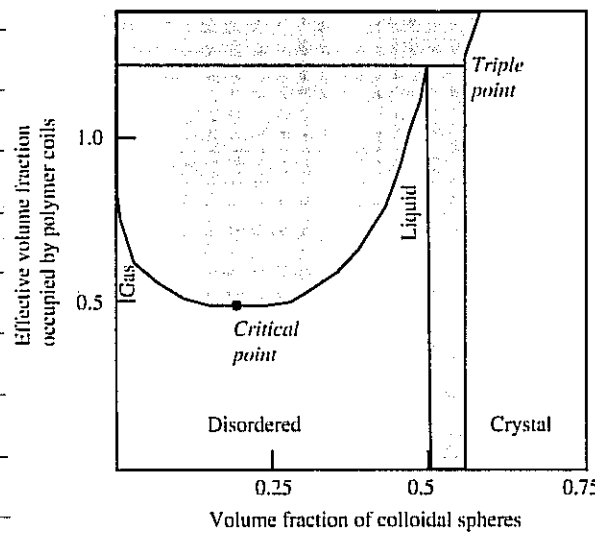


Fig. 4.9 Calculated phase diagram for a colloid of hard spheres with non-adsorbing polymer added to the solution. The ratio of the sizes of the colloidal spheres to the radii of the polymer molecules is 0.57. After Illett et al. (1995).

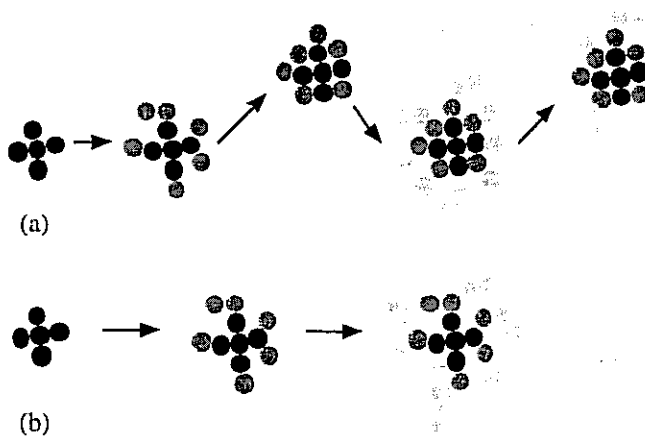
ΚΟΛΛΟΓΙΔΗΣΥΣΤΗΜΑΤΑ ΜΕ ΕΝΤΙΚΕΣ ΑΛΛΗΛΕΤΙΔΡΑΣΕΙΣ

Fig. 4.10 Aggregation with and without rearrangement. In (a) the attraction is weak enough to allow the particles to rearrange following aggregation—this produces relatively compact aggregates. In (b) the attractive energy is so strong that once particles make contact, they remain stuck in this position. Particles arriving later tend to stick on the outside of the cluster, as access to its interior is blocked, resulting in much more open aggregates with a fractal structure.

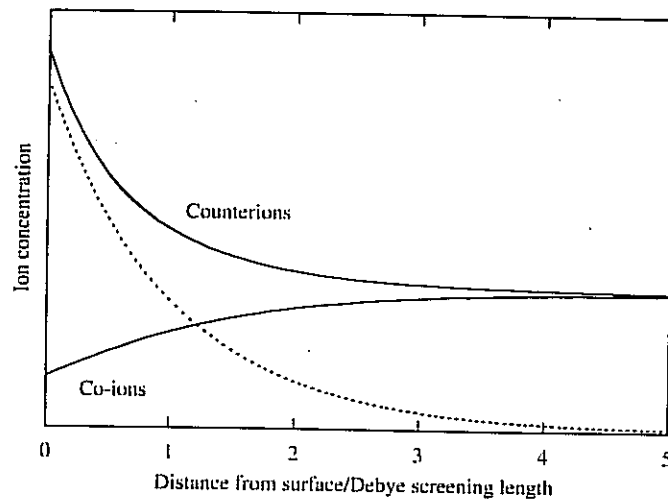
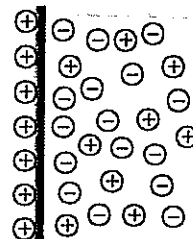


Fig. 4.3 Distribution of ions near a charged surface, according to Debye-Hückel theory. The dotted line illustrates the form of the potential near the surface.

(a)



(b)

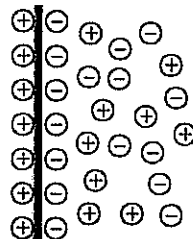
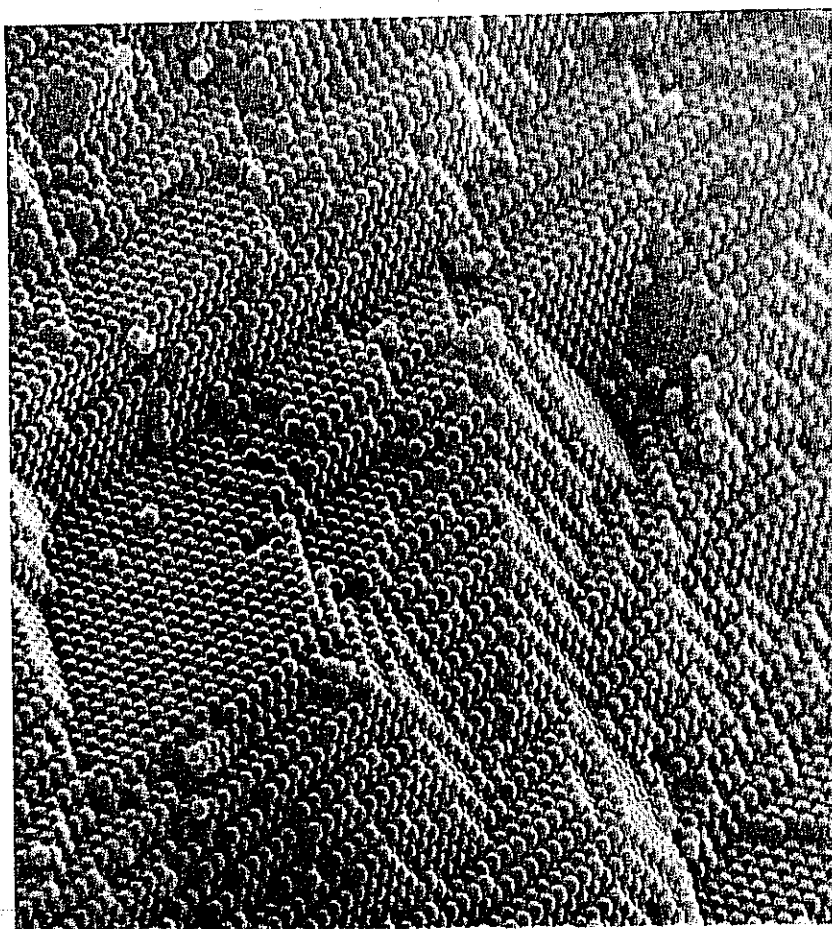


Figure 3.2 Models for the electric double layer around a charged colloid particle: (a) diffuse double layer model, (b) Stern model

Fig. 1.6. Ordered arrays formed from filtered latex suspensions. (Photo from Interfacial Dynamics Corporation, Portland, Oregon.)



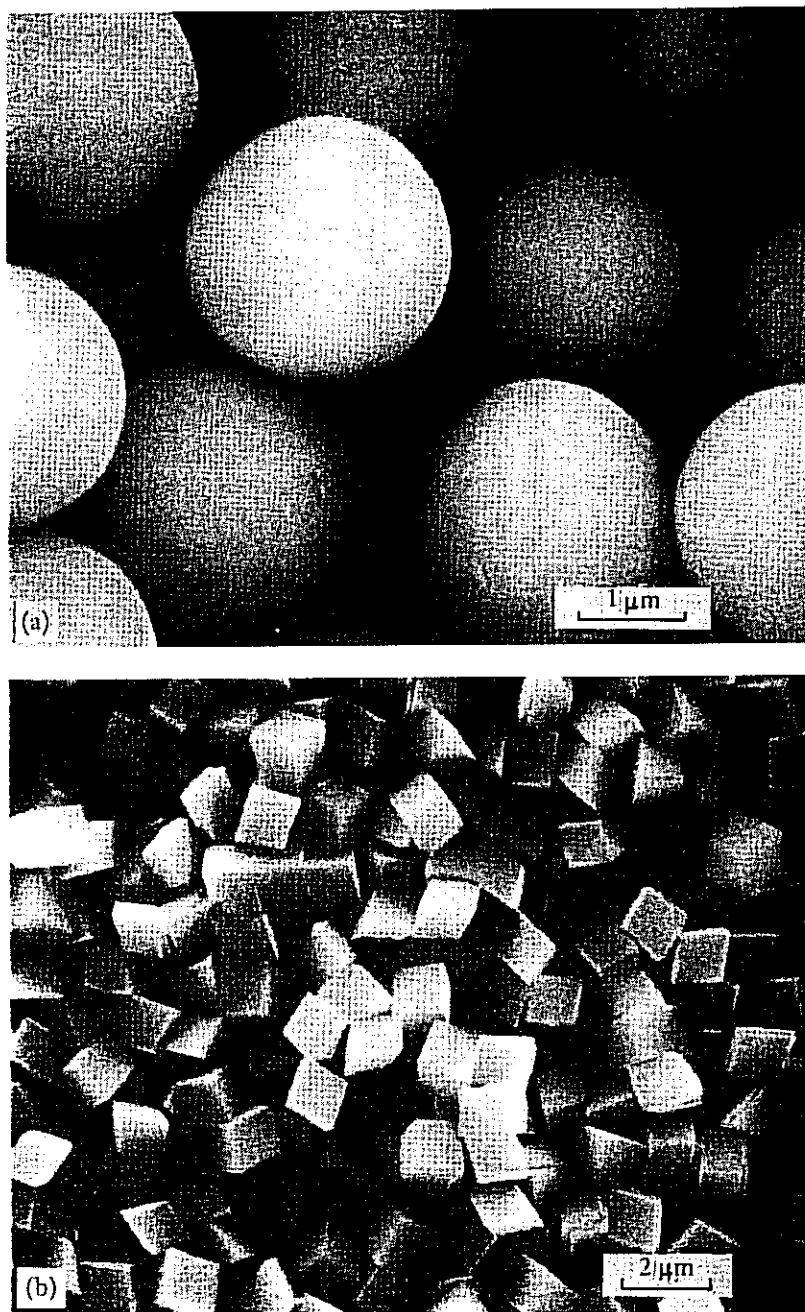


Fig. 1.4.2 Monodisperse inorganic colloids: (a) zinc sulphide (sphalerite); (b) cadmium carbonate; (c) α -Ferric oxide (haematite); (d) basic ferric sulphate (alunite). (Photographs courtesy of Professor E. Matijevic, Clarkson University, N.Y.)

